

تأثیر عصاره جوانه گندم بر ساختار هیستولوژیک و هیستومتریک بیضه و پارامترهای اسپرم موش صحرایی مواجهه شده با سرب

حسن مروتی^{*} حمید رضا مرادی مسعود ادیب مرادی محمد تقی شیبانی چمله سالار آمی

گویا علم بایه، دانشکده دائم شک، دانشگاه تهران، تهران، ایران

دریافت مقاله: ۶ شهریور ۱۳۹۵، پذیرش نهایی: ۱۱ دی ماه ۱۳۹۵

حکیمہ

زمینه مطالعه: جوانه گندم غنی از آنتی اکسیدان ها، ویتامین ها (مخصوصاً ویتامین E)، مواد معدنی و ترکیبات فیتواستروژنی می باشد. گیاهان دارویی به طور وسیعی برای کاهش مسمومیت های فلزات سنگین استفاده شده است. در سال های اخیر، تأثیر منفی سرب بر روی دستگاه تنفسی نر نشان داده شده است. **هدف:** هدف این مطالعه بررسی تأثیر عصاره جوانه گندم و ویتامین E بر روی ساختار هیستولوژیک و هیستومتریک بیضه و پارامترهای اسپرم موش های صحرایی مواجهه شده با استات سرب بود. **روش کار:** ۳۵ سر موش صحرایی در ۷ گروه شامل: گروه کنترل، دریافت کننده سرم فیزوولوژی با دوز ۱ ml/kg، گروه دریافت کننده استات سرب با دوز ۲۰ mg/kg/day، گروه های دریافت کننده عصاره جوانه گندم با دوزهای ۲۰۰ mg/kg/day و ۱۰۰ mg/kg/day، گروه های دریافت کننده استات سرب ۲۰ mg/kg/day همزمان با عصاره جوانه گندم با دوزهای ۲۰۰ mg/kg/day و ۱۰۰ mg/kg/day و گروه دریافت کننده استات سرب ۲۰ mg/kg/day همزمان با ویتامین E با دوز ۱۰۰ day به طور تصادفی و برابر تقسیم شدند. پس از ۳۵ روز، موش ها توسط کلروفرم آسان کشی شده و نمونه های خون، اسپرم، بافت های کبد و بیضه برای مطالعات هیستومورفومتری و هیستوژنی جمع آوری شدند. نتایج: افزایش معنی دار تعداد و تحرک اسپرم ها تحت تأثیر دوز/ mg/kg/day ۲۰۰ عصاره جوانه گندم در مقایسه با سایر گروه ها دیده شد ($p < 0.01$). نتایج هیستومورفومتری حاکی از افزایش معنی دار ضرایب TDI و RI (Tubular Differentiation index) و Repopulation Index (RI) در سرتولی، قطر و ارتفاع ایپی تیلوم لوله های منی ساز تحت تأثیر دوز ۲۰۰ mg/kg/day عصاره جوانه گندم در مقایسه با سایر گروه ها بودند ($p < 0.01$). نتیجه گیری نهایی: عصاره جوانه گندم در بهبود و بالا بردن کیفیت اسپرم و ساختار بافتی بیضه موش های صحرایی مواجهه شده با استات سرب مؤثر است.

واژه‌های کلیدی: جوانه گندم، سرب، بیضه، استرس اکسیداتیو، موش صحرایی

آنثی هیپر گلیسمی و پسدرسطان جوانه گندم در شرایط زنده نشان داده شده است (۱۰، ۳۶، ۳۸). گزارش شده است که مولکول های آنتی اکسیدانی جدا شده از جوانه گندم در شرایط آزمایشگاهی از آسیب اکسیداتیو DNA جلوگیری می کنند (۱۷).

dolēo

از طرفی گزارش‌های موجود از کاهش باروری مردان اشاره به نقش تماس با عوامل زیست محیطی در اتیولوژی ناباروری انسان دارد (۶). سرب از آلاینده‌های مهم زیست محیطی است که بر سیاری از ارگان‌های بدن از جمله سیستم تناسلی نر تأثیر می‌گذارد و تهدید بسیار جدی برای سلامت انسان محسوب می‌گردد (۲۰، ۲۵). در این بین افرادی مانند کارگران معادن سرب، ذوب فلز، کارخانه باطری سازی و کارگران سایر شغل‌های مرتبط نیز وجود دارند که در مواجهه شغلی با سرب هستند. از دیگر منابع مهم الودگی زیست محیطی سرب، ذخیره‌سازی آب آشامیدنی در مخازن، بسته‌بندی مواد غذایی در روزنامه‌ها، مواد غذایی کنسرو شده می‌باشد. تأثیر سرب بر روی دستگاه تناسلی نر و یارامترهای باروری اسپرم نشان داده شده است (۳، ۴، ۲۰) Kakkar و همکاران در سال ۲۰۰۵ بیان نمودند که اختلال در ساختار و عملکرد سیستم تناسلی نر و کیفیت اسپرم یکی از مشاهده‌های عمده قرار گرفتن در معرض سرب است (۲۵). سرب موجود در محیط می‌تواند از راههای تنفس، گوارش و پوست جذب گردد و در بدن



Email: hmorejui@ut.ac.ir; Tel: +98-311-2661614; Fax: +98-311-2661614

ترزیق روزانه داخل صفاقی (۲۰، ۱۸، ۱۵).
 ۳- گروه دریافت کننده عصاره جوانه گندم به میزان ۱۰۰mg/kg روزانه به صورت خوارکی با استفاده از نیدل مخصوص گاواز.
 ۴- گروه دریافت کننده عصاره جوانه گندم به میزان ۲۰۰mg/kg روزانه به صورت خوارکی با استفاده از نیدل مخصوص گاواز.
 ۵- گروه دریافت کننده استات سرب با دوز ۲۰mg/kg به صورت تزریق روزانه داخل صفاقی همزمان با عصاره جوانه گندم به میزان /mg ۱۰۰kg به صورت خوارکی با استفاده از نیدل مخصوص گاواز.
 ۶- گروه دریافت کننده استات سرب با دوز ۲۰mg/kg به صورت تزریق روزانه داخل صفاقی همزمان با عصاره جوانه گندم به میزان /mg ۲۰۰kg به صورت خوارکی با استفاده از نیدل مخصوص گاواز.
 ۷- گروه دریافت کننده استات سرب با دوز ۲۰mg/kg به صورت تزریق روزانه داخل صفاقی همزمان با ویتامین E به میزان ۱۰۰mg/kg به صورت خوارکی با استفاده از نیدل مخصوص گاواز (۳۵).
 این آزمایش به مدت ۳۵ روز به طول انجامید. به منظور تعیین دوز داروها براساس وزن بدن حیوان، اندازه‌گیری وزن حیوانات به صورت هفتگی انجام می‌شدند. در روز ۳۶، موش‌ها پس از وزن گیری با کلروفرم آسان کشی شدند. نمونه‌های خون جهت اندازه‌گیری سطح سرمی تست‌سترون و نمونه‌های بافت کبد جهت اندازه‌گیری مقدار سرب اخذ گردید. نمونه‌ها تا زمان انجام آزمایش در فریز ۲۰°C- قرار داده شدند. برای ارزیابی تعداد، تحرک، میزان شکستگی DNA، میزان بلوغ هسته و زنده ماندن اسپرم‌ها، اپیدیدیم با دقت از بیضه‌ها جدا گردیدند. نمونه‌های بافت بیضه راست جهت اندازه‌گیری پراکسیداسیون لبید با سنجش میزان مواد واکنش دهنده با تیوباریتوريک اسید (TBARS) جدا گردیدند. این نمونه‌ها نیز تا زمان انجام آزمایش در فریز ۲۰°C- قرار داده شدند. پس از ثبت وزن و حجم بیضه چپ در موش‌ها، به منظور ارزیابی هیستوشیمی و هیستومورفومتری در محلول فیکساتئورمالین با فر ۱۰٪ قرار داده شدند.
 ارزیابی اسپرم: سه قسمت اپیدیدیم شامل سر، بدن و دم از همدیگر تفکیک شدند. دم اپیدیدیم داخل پتري دیش (۳cm) حاوی ۱ml محیط کشت Human Tubal Fluid (HTF) گذاشته شد. با ایجاد چند برش در دم اپیدیدیم و در شرایط انکوباتور ۳۷°C با ۳۷٪ CO₂ اسپرم‌ها خارج شده و مورد بررسی قرار گرفتند. برای انجام این بررسی‌ها از هر گروه ۵ موش و از هر نمونه اسپرم ۱۰ lام تهیه شدند. بررسی‌های انجام شده با استفاده از لام نتوبار و میکروسکوپ نوری شامل شمارش میانگین تعداد اسپرم در واحد حجمی و رقت ثابت، تعیین میزان درصد تحرک و درصد زنده ماندن اسپرم (رنگ آمیزی نیگروزین اتوژین)، میزان بلوغ هسته (رنگ آمیزی آنیلین بلو) و میزان شکستگی DNA (رنگ آمیزی آکریدین اورنج) انجام گرفتند (۳۹، ۴۰).

ارزیابی TBARS بافتی بیضه: سطح مالون دی آلدئید به عنوان

بحالت انباشته وجود داشته باشد (۱۸). فلزات سنگین مانند سرب می‌توانند اثرات مضر خود را از طریق تولید گونه‌های فعلی اکسیژن (ROS) و یا Upasani و همکاران در سال ۲۰۰۱ گزارش کردند که سمیت با سرب در ارتباط با افزایش سطح پراکسیداسیون چربی‌ها می‌باشد (۴۸). بنابراین این تصور وجود دارد که ترکیبات آنتی‌اکسیدانی در مقابل اثرات سمی سرب بر روی دستگاه‌های مختلف بدن مؤثر و مفید باشند (۱۱، ۴۴). در سال‌های اخیر، علاقه و پژوهش زیادی در مورد گیاهان و مواد طبیعی که خواص آنتی‌اکسیدانی و دارویی دارند، وجود داشته است. تأثیر مفید میوه‌ها و سبزیجات و گیاهان مدیترانه‌ای به علت داشتن ترکیبات مشابه نظریه مقادیر فراوان فیبر، ریز مغذی‌ها و آنتی‌اکسیدان‌ها به اثبات رسیده است (۱۷). علاقه و هدف این مطالعه نیز بر روی جوانه گندم تمکن کز دارد. بنابراین این مطالعه، بررسی نقش محافظتی عصاره هیدروالکلی جوانه گندم و ویتامین E بر روی ساختار هیستولوژیک و هیستومتریک بیضه و پارامترهای اسپرم موش صحرایی مواجهه شده با سرب را مدنظر قرار می‌دهد.

مواد و روش کار

استات سرب (از شرکت مرک، آلمان)، ویتامین E (اتوکوفرول) (از شرکت داروسازی زهراوی، ایران) و کیت اندازه‌گیری تست‌سترون (از DRG، آلمان) خریداری گردیدند. سپس عصاره هیدروالکلی جوانه گندم با استفاده از روش حجمی یا ماس‌سیویون در مرکز تحقیقات فارماکولوژی دانشکده دامپزشکی دانشگاه شهید چمران اهواز تهیه شد. سایر مواد شیمیایی مورد استفاده در این آزمایش از شرکت مرک، آلمان خریداری گردیدند.

آماده سازی حیوانات و طرح آزمایش: ۳۵ سر موش صحرایی نر بالغ نژاد ویستار و به ظاهر سالم با میانگین وزنی 220 ± 20 g از مرکز تکثیر و پرورش حیوانات آزمایشگاهی دانشکده دامپزشکی دانشگاه تهران خریداری شدند. یک روز قبل از شروع آزمایش، موش‌های صحرایی به طور تصادفی به ۷ گروه تقسیم شدند. در هر گروه ۵ سر موش صحرایی که در شرایط ۱۲ ساعت روشنایی و ۱۲ ساعت تاریکی در دمای ۲۳-۲۵°C نگهداری شدند. همچنان، به منظور انجام روند طبیعی فعالیت جنسی موش‌های نر در هر قفس ۲ سر موش صحرایی ماده نیز قرار گرفتند. آب و غذای مورد نیاز حیوان نیز به صورت آزاد در دسترس قرار داده شدند. حیوانات به مدت یک هفته به منظور سازش با شرایط محیطی نگهداری شدند. دستورالعمل اصول اخلاقی کار با حیوانات آزمایشگاهی دانشکده دامپزشکی دانشگاه تهران رعایت گردید.

۱- گروه کنترل با تزریق روزانه داخل صفاقی سرم فیزیولوژی به مقدار .۱ ml/kg

۲- گروه دریافت کننده استات سرب با دوز ۲۰ mg/kg به صورت



تمایز یافته از اسپرماتوگونی نوع A می‌باشد، محاسبه شدند. برای بررسی Spermiogenesis Index (SI) درصد لوله‌های منی‌ساز که دارای سلول‌های رده اسپرماتید هستند به عنوان لوله‌های SI مثبت و لوله‌های ناقد سلول‌های اسپرماتید به عنوان لوله‌های SI منفی در نظر گرفته شدند. در بررسی Repopulation Index (RI) نسبت تعداد اسپرماتوگونی‌های نوع B به نوع A انجام گرفت (۲۲).

اندازه‌گیری سطح سرمی تستوسترون: نمونه‌های خون از قلب موش‌های صحرابی اخذ و در 37°C انکوبه شدند. سرم نمونه‌ها با استفاده از ساتریفیوژ در $\times 3000\text{ g}$ به مدت ۱۰ دقیقه جدا گردید. سپس سطح سرمی تستوسترون توسط روش الایزا اندازه‌گیری شدند.

تجزیه تحلیل آماری داده‌ها: داده‌های بدست آمده با استفاده از نرم افزار SPSS V ۱۸ مورد تجزیه تحلیل آماری قرار گرفتند. داده‌ها به صورت mean \pm SD ارائه شدند. جهت مقایسه میانگین‌ها در گروه‌های تحت مطالعه از آزمون ANOVA پس آزمون Tukey استفاده شد و در مواردی که $p \leq 0.05$ بود معنی دار تلقی گردید.

نتایج

ماکروسکوپی: گروه سرب با میانگین وزنی $214 \pm 214\text{ mg/kg/day}$ و گروه سرب + جوانه (200 mg/kg/day) با میانگین وزنی $269.8 \pm 207.4\text{ mg/kg/day}$ کمترین میزان وزن را در بین گروه‌های نشان دادند. وزن بدن موش‌های صحرابی در گروه سرب + جوانه (200 mg/kg/day) در مقایسه با گروه‌های جوانه (200 mg/kg/day), سرب + ویتامین E و سرب + جوانه (200 mg/kg/day) کاهش معنی دار نشان داد ($p < 0.01$). وزن بدن موش‌های صحرابی در گروه‌های جوانه (200 mg/kg/day) و سرب + ویتامین E در مقایسه با گروه سرب افزایش معنی دار نشان دادند ($p < 0.05$). گروه جوانه (200 mg/kg/day) بیشترین وزن خالص بیضه را در مقایسه با سایر گروه‌ها نشان داد که از لحاظ آماری با گروه سرب + جوانه (100 mg/kg/day) افزایش معنی دار داشت ($p < 0.05$). در مقابل، وزن بیضه در گروه‌های دریافت کننده سرب دارای کاهش غیر معنی دار در مقایسه با سایر گروه‌ها بودند. در پارامتر وزن بیضه سایر گروه‌ها اختلاف معنی داری دیده نشد. کمترین میانگین وزن نسبی ($64.0 \pm 4.5\text{ mg/kg/day}$) در گروه سرب + جوانه (100 mg/kg/day) دیده شد که در مقایسه با سایر گروه‌های مطالعه به جز گروه سرب + ویتامین E معنی دار بود ($p < 0.05$). گروه سرب دارای کمترین میانگین حجم در مقایسه با سایر گروه‌های آزمایش نشان داد. در مقابل، گروه‌های دریافت کننده جوانه در مقایسه دیگر گروه‌ها دارای افزایش حجم بیضه بودند. از لحاظ آماری هیچ اختلاف معنی داری در حجم بیضه در بین گروه‌های آزمایش وجود نداشت (جدول ۱).

هیستوژیمی و میکروسکوپی: در مطالعه حاضر، مواجهه با استات سرب موجب از بین رفتن اسپرماتوژن، کاهش ارتفاع ابی‌تلیوم زایای منی‌ساز،

ماده‌ای است که با اسید تیوباریتوفریک (TBARS) واکنش نشان می‌دهد، در نمونه‌های بافت بیضه هموژن شده با توجه به روش Lukaszewicz و همکاران در سال ۲۰۰۷ اندازه‌گیری شدند ($30 \pm 10\%$ از بافت بیضه هموژن شده در پتاسیم کلرید $1000\text{ }\mu\text{mol/l}$ در 50 ml به مدت ۳۰ دقیقه ساتریفیوژ شد. 5 ml اسید تری کلرواستیک 5 ml به حدود $500\text{ }\mu\text{M}$ از محلول رویی اضافه گردید و دوباره در 50 ml به مدت ۵ دقیقه ساتریفیوژ شد. پس از ساتریفیوژ نهایی، لوله‌ها (پوشش داده شده با فویل الومینیومی) حاوی 5 ml از محلول رویی و 5 ml اسید تیوباریتوفریک در حمام آب 90°C به مدت ۱ ساعت قرار گرفتند. جذب در دمای اتاق و طول موج 540 nm توسط دستگاه اسپکتروفوتومتری و منحنی استاندارد TBARS بر حسب میکرومول TBARS در 1 g بافت بیضه ارائه شدند.

اندازه‌گیری سرب کبد: به منظور تأیید نفوذ، جذب و انباشتگی سرب تجویزی در بدن، سطح سرب نمونه‌های کبد اندازه‌گیری شدند. نمونه‌های ion conductivity plasma instrument (DV; USA Optima ۷۳۰) در مرکز تحقیقات سم شناسی دانشکده دامپزشکی دانشگاه تهران، ایران در واحد ppm اندازه‌گیری شدند.

مطالعه هیستومورفومتری و هیستوژیمی: جهت انجام بررسی ماکروسکوپی، بیضه‌ها با استفاده از ترازوی دیجیتال (با دقت 0.001 g) توزین و ثبت شدند. حجم بیضه با روش جابجایی اندازه‌گیری گردید ($37\text{ }\mu\text{m}$). به منظور مطالعه میکروسکوپی نمونه‌های پایدار شده به روش استاندارد تهیه مقاطع بافتی پارافینی، برش‌هایی با خاصیت $5-6\text{ }\mu\text{m}$ تهیه و با استفاده از روش‌های H&E و پریودیک اسید شیفت (PAS) رنگ‌آمیزی و مورد مطالعه هیستومورفومتری قرار گرفتند. برای رنگ‌آمیزی چربی‌ها و آسیب بافتی، پس از قالب گیری با $5\text{ }\mu\text{m}$ تهیه و با استفاده OCT compound (OCT)، برش‌های $15-20\text{ }\mu\text{m}$ نمونه بافتی بیضه توسط کرابیو استات (SLEE، آلمان) در دمای -40°C - تهیه و با سودان بلک و ALP رنگ‌آمیزی شدند. رنگ‌آمیزی با PAS و سودان بلک به ترتیب جهت مشخص کردن مواد کربوهیدرات و چربی در سیتوپلاسم سلول‌های رده اسپرماتوژن و سلول‌های بافت بینایینی لوله‌های منی‌ساز بیضه استفاده گردید. رنگ‌آمیزی ALP جهت مشخص کردن میزان آسیب بافتی بیضه در گروه‌های مختلف آزمایش انجام گرفت. در بررسی میکرومتری با استفاده Dino میکروسکوپ نوری و لنز دیجیتال Dino-Lite و نرم افزار Capture ۲، ساختار هیستومتریک بیضه از نظر ضخامت کپسول، ارتفاع ابی‌تلیوم لوله‌های منی‌ساز، تعداد سلول‌های سرتولی، اندازه سلول‌های لیدیگ، تعداد سلول‌های لیدیگ، قطر لوله‌های منی‌ساز و ارزیابی اسپرماتوژن و اسپرمیوژن از طریق ضرایب TDI، RI، SI، Dino-Lite مورد بررسی قرار گرفتند. به منظور بررسی TDI (Tubular Differentiation Index) درصد لوله‌های منی‌ساز که شامل چهار یا بیش از چهار ردیف از سلول‌های



جدول ۱. وزن بدن، وزن خالص، وزن بیضه/وزن بدن و حجم بیضه. وجود حروف متفاوت در هر ردیف عمودی نشان دهنده تفاوت معنی دار بین گروه های مطالعه می باشد $.mg/kg/day^*$ ($p<0.05$)

گروه	وزن بدن (g)	وزن خالص بیضه (g)	وزن خالص بیضه/وزن بدن $\times 10^{-2}$	حجم بیضه (ml)
کنترل	۲۲۷/۲ \pm ۴/۲ ^{ab}	۷۵ \pm ^a b	۶/۴ \pm ۰/۱ ^{ab}	۷۲ \pm ۰/۲
سرب	۲۱۴ \pm ۱۴/۲ ^{bcd}	۷۴ \pm ۰/۱ ^{ab}	۶/۴ \pm ۰/۳ ^{ab}	۱±۰
جوانه (۱۰۰*)	۲۲۷/۴ \pm ۱۰/۵ ^{ab}	۷۵ \pm ۰/۲ ^{ab}	۶/۵ \pm ۰/۶ ^{ab}	۷/۲ \pm ۰/۳
(۲۰۰*)	۲۵/۸ \pm ۸ ^a	۷۶ \pm ۰/۱ ^a	۶/۳ \pm ۰/۲ ^{ab}	۷/۲ \pm ۰/۲
(۱۰۰*)	۲۴۴/۶ \pm ۱۲/۸ ^{ac}	۷۳ \pm ۰/۱ ^b	۵/۴ \pm ۰/۶ ^c	۱±۰/۲
(۲۰۰*)	۲۰۷/۴ \pm ۲۶/۹ ^{bcd}	۷۴ \pm ۰/۱ ^{ab}	۶/۵ \pm ۰/۷ ^b	۷/۱ \pm ۰/۱
سرب + جوانه (۱۰۰*)	۲۵۰ \pm ۲۰/۵ ^a	۷۴ \pm ۰/۱ ^{ab}	۵/۶ \pm ۰/۲ ^{bc}	۱/۳ \pm ۰/۲
سرب + ویتامین E				

جدول ۲. تغییرات ضرایب RI، TDI و RI. ارتفاع ابی تلیوم زایا و تعداد سلول های سرتولی بیضه (Mean \pm SD). وجود حروف متفاوت در هر ردیف عمودی نشان دهنده تفاوت معنی دار بین گروه های مطالعه می باشد $.mg/kg/day^*$ ($p<0.05$)

گروه	(%) SI	(%) TDI	(%) RI	ارتفاع ابی تلیوم زایا (μm)	تعداد سلول های سرتولی
کنترل	۹۰/۳ \pm ۴/۱ ^c	۷۶ \pm ۲/۲ ^a	۶۲ \pm ۵/۲ ^{ad}	۷۷ \pm ۴/۳ ^{bc}	۱۷/۶ \pm ۱/۶ ^a
سرب	۸۱ \pm ۴/۶ ^{ab}	۶۲/۱ \pm ۱/۸ ^b	۵۵/۶ \pm ۴ ^a	۶۴/۱ \pm ۱ ^a	۱۶/۴ \pm ۰/۸ ^a
جوانه (۱۰۰*)	۸۷/۷ \pm ۲ ^{ac}	۷۹/۶ \pm ۷/۵ ^a	۷۰/۱ \pm ۲/۴ ^b	۷۴/۱ \pm ۲/۶ ^{bc}	۷۲ \pm ۱/۱ ^{hd}
جوانه (۲۰۰*)	۹۵/۹ \pm ۱ ^c	۸۵/۴ \pm ۰/۵ ^c	۸۰/۶ \pm ۷/۲ ^c	۸۹/۲ \pm ۴/۳ ^d	۲۸ \pm ۰/۲ ^c
سرب + جوانه (۱۰۰*)	۷۶/۲ \pm ۳/۸ ^b	۶۷/۶ \pm ۲/۲ ^b	۶۶/۵ \pm ۰/۴ ^{hd}	۶۶/۴ \pm ۰/۴ ^{bc}	۲۲/۳ \pm ۰/۶ ^{hd}
سرب + جوانه (۲۰۰*)	۹۴/۲ \pm ۱/۹ ^c	۷۷/۷ \pm ۲/۷ ^a	۷۷/۷ \pm ۱/۳ ^b	۸۵/۴ \pm ۰/۷ ^{dc}	۲۲/۳ \pm ۰/۶ ^{bc}
سرب + ویتامین E	۸۸/۸ \pm ۲/۹ ^{ac}	۷۷/۸ \pm ۳/۳ ^a	۵۶/۱ \pm ۰/۳ ^a	۶۸/۲ \pm ۰/۴ ^{abc}	۲۲ \pm ۰/۱ ^d

جدول ۳. تغییرات پارامتر های بانتنی بیضه. وجود حروف متفاوت در هر ردیف عمودی نشان دهنده تفاوت معنی دار بین گروه های مطالعه می باشد $.mg/kg/day^*$ ($p<0.05$)

گروه	ضخامت کرسوی (μm)	قطر لوله منی ساز (μm)	تعداد سلول های لیدیک (μm)	اندازه سلول های لیدیک (μm)
کنترل	۳۱/۸ \pm ۲/۴	۲۵۲/۴ \pm ۱۳/۳ ^{ac}	۱/۰/۳ \pm ۰/۸ ^{bc}	۷/۱ \pm ۰/۱
سرب	۳۲/۵ \pm ۶	۲۰۶/۶ \pm ۸/۹ ^b	۹/۵ \pm ۰/۹ ^b	۷/۱ \pm ۰/۲
جوانه (۱۰۰*)	۲۸/۹ \pm ۴/۵	۲۳۵/۷ \pm ۱/۱ ^c	۱۲ \pm ۰/۴ ^{ac}	۸ \pm ۰/۵
جوانه (۲۰۰*)	۳۳/۲ \pm ۳	۲۶۷/۵ \pm ۱۰/۲ ^a	۱۳/۵ \pm ۰/۷ ^{dc}	۸/۰/۲ \pm ۰/۳ ^a
سرب + جوانه (۱۰۰*)	۳۵/۶ \pm ۵/۲	۱۸۶/۵ \pm ۱۰ ^b	۱۳/۶ \pm ۰/۷ ^c	۷/۰/۱ \pm ۰/۷
سرب + جوانه (۲۰۰*)	۳۲/۶ \pm ۳/۱	۲۶۸/۴ \pm ۸/۶ ^a	۱۰/۹ \pm ۰/۱ ^{bc}	۷/۰/۰ \pm ۰/۷ ^{bc}
سرب + ویتامین E	۳۲/۳ \pm ۲/۳	۲۳۵/۶ \pm ۱۲/۴ ^c	۱۰/۰ \pm ۰/۷ ^{bc}	۷/۰/۰ \pm ۰/۸

با استات سرب در بیضه موش های صحرایی مشاهده گردید. به طوری که واکوئل های پراکنده در میان ابی تلیوم زایای لوله های منی ساز بیضه مشاهده شد. توقف بلوغ اسپرماتوزوا و فقدان اسپرماتوزوا در لومن بسیاری از گردید. این توقف بلوغ اسپرماتوزوا و فقدان اسپرماتوزوا در لومن بسیاری از لوله های منی ساز بیضه موش های صحرایی مواجهه شده با استات سرب قابل توجه بود. در برش های بافتی گروه های سرب، سرب + ویتامین E و سرب + جوانه ($100\ mg/kg/day$) ($200\ mg/kg/day$) یا ($100\ mg/kg/day$) ($200\ mg/kg/day$) منی ساز تحلیل رفتہ مشاهده گردید. لوله های منی ساز تحلیل رفتہ در دیگر گروه ها دیده نشد. دریافت جوانه وابسته به دوز و ویتامین E در گروه های مورد مطالعه موجب انسجام حفظ ساختار در بافت شناسی بیضه و افزایش بیشتر لوله های اسپرماتوزنز فعال گردید. به طوری که گروه های دریافت کننده جوانه بالاخص با دوز $200\ mg/kg/day$ ، لوله های منی ساز تحلیل رفتہ، واکوئل ها و بهم ریختگی و اختلال ساختار ابی تلیوم در لوله های منی ساز بیضه مشاهده نشد. لازم به توضیح است که افزایش اسپرماتوزنز

جدول ۴. ارزیابی کیفی رنگ آمیزی PAS و ALP با است بانست بیضه. شماره های ۱-۵ نشان دهنده واکنش حداکثر و حداقل با است بانست بیضه به رنگ آمیزی PAS و ALP $.mg/kg/day^*$ می باشد.

گروه	شدت رنگ آمیزی PAS	شدت رنگ آمیزی ALP
کنترل	+ ۱	+ ۱
سرب	+ ۵	+ ۵
جوانه (۱۰۰*)	+ ۱	+ ۱
جوانه (۲۰۰*)	+ ۱	+ ۱
سرب + جوانه (۱۰۰*)	+ ۳	+ ۵
سرب + جوانه (۲۰۰*)	+ ۲	+ ۲
سرب + ویتامین E	+ ۳	+ ۴

تغییرات تحلیل برنده در لوله های منی ساز، افزایش ادم در بافت بینایی اطراف لوله های منی ساز و افزایش قطر لوله منی ساز گردید. اختلال در انسجام و پیوستگی سلول های اسپرماتوزنز تحت تأثیر مواجهه



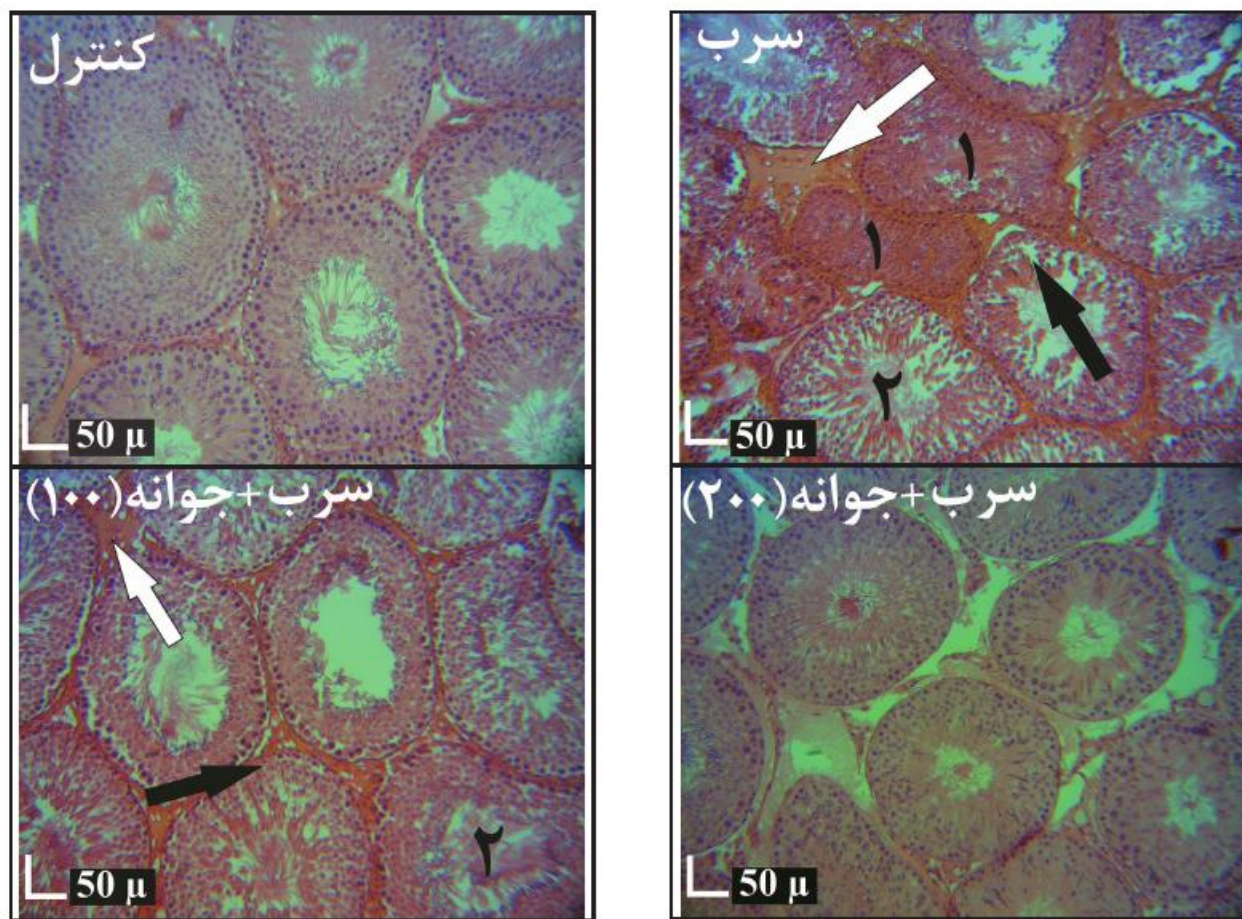
جدول ۵. Mean \pm SD و تغییرات پارامترهای اسپرم در گروههای مطالعه، وجود حروف مقاومت در هر ردیف عمودی نشان دهنده تفاوت معنی دار بین گروههای مطالعه می باشد
.mg/kg/day* (p<./.۰۵)

گروه	تعداد اسپرم (میلیون/میلی لیتر)	تحرک اسپرم (%)	زنده ماندن اسپرم (%)	اسپرم نابالغ (%)	اسپرم با DNA سالم (%)
کنترل	۶۹.۶ \pm ۷.۹*	۶۰ \pm ۴.۳*	۸۷.۶ \pm ۰.۴	۷.۸ \pm ۱.۶*	۹۹.۲ \pm ۰.۴
سرب	۴۸.۹ \pm ۷.۱*	۳۶ \pm ۲.۴/۳*	۶۷.۴ \pm ۶.۱*	۱۲.۲ \pm ۱.۱*	۹۶.۲ \pm ۲.۹
جوانه	۶۲.۳ \pm ۸.۳*	۶۴.۲ \pm ۶.۴*	۹۷.۰ \pm ۲.۲*	۷ \pm ۲*	۹۷.۲ \pm ۲.۷*
جوانه	۷۸.۱ \pm ۷.۵*	۷۶ \pm ۵.۱*	۹۲.۵ \pm ۲.۲*	۶.۸ \pm ۷.۶*	۹۹ \pm ۰.۷
سرب + جوانه	۴۷.۹ \pm ۴.۴*	۵۶.۴ \pm ۵.۹*	۷۴.۴ \pm ۵.۹*	۱۰ \pm ۷.۲*	۹۶.۴ \pm ۷.۷
سرب + جوانه	۵۴ \pm ۷.۳*	۶۷.۲ \pm ۱.۱*	۷۵ \pm ۴.۱*	۹.۲ \pm ۱.۹*	۹۷.۲ \pm ۱.۳
سرب + ویتامین	۵۸.۹ \pm ۷.۹*	۵۵ \pm ۶.۱*	۷۹.۲ \pm ۴.۶*	۷.۴ \pm ۱.۸*	۹۸.۲ \pm ۷.۵

قطر لوله‌های منی‌ساز گروه سرب دارای کاهش معنی دار در مقایسه با گروه کنترل بود ($p<./.۰۰۱$). گروه سرب + جوانه (100 mg/kg/day) با میانگین $186.5 \pm 10.0\text{ }\mu\text{m}$ در مقایسه با سایر گروههای مطالعه دارای کمترین قطر لوله منی‌ساز بود. در نتیجه، جوانه (100 mg/kg/day) نتوانست تأثیر سمتی سرب را در پارامتر قطر لوله‌های منی‌ساز تعديل کند. به طوریکه از لحاظ آماری این گروه در مقایسه با گروه کنترل اختلاف معنی دار داشت ($p<./.۰۰۱$) (جدول ۳). تعداد سلول‌های لیدیگ در گروه سرب در مقایسه با سایر گروههای مطالعه کمترین تعداد را نشان داد. اما این کاهش در مقایسه با گروه کنترل معنی دار نبود. بیشترین تعداد سلول لیدیگ در گروه کنترل جوانه دیده شد. به طوریکه این تعداد در گروه جوانه گندم دریافت کننده جوانه داده شد. با میانگین 13.5 ± 1.7 در مقایسه با گروههای کنترل (200 mg/kg/day) سرب، سرب + ویتامین E و سرب + جوانه (200 mg/kg/day) افزایش معنی دار داشت ($p<./.۰۵$). تفاوت معنی داری در اندازه سلول‌های لیدیگ در بین گروههای مطالعه مشاهده نگردید. تنها اندازه سلول‌های لیدیگ در گروههای دریافت کننده جوانه واپسی داشت به دوز نسبت به سایر گروههای دارای میانگین بیشتری بود (جدول ۳). تعداد سلول‌های سرتولی در جوانه (200 kg/day) در مقایسه با گروههای کنترل، سرب، سرب + جوانه (100 kg/day), سرب + جوانه (200 mg/kg/day) و سرب + ویتامین E دارای افزایش معنی دار بود ($p<./.۰۰۱$). در مقابل، گروه سرب با تعداد 15.4 ± 0.8 در مقایسه سایر گروههای مطالعه کمترین سلول سرتولی را در لوله‌های منی‌ساز نشان داد. این تعداد در گروه سرب در مقایسه با همه گروه‌ها به جز گروه کنترل دارای اختلاف معنی دار بود ($p<./.۰۰۱$). قابل توجه است که تعداد سلول‌های سرتولی در همه گروههای دریافت کننده جوانه و ویتامین E در مقایسه با گروه کنترل افزایش معنی دار نشان دادند ($p<./.۰۰۱$) (جدول ۲). بررسی آماری داده‌های به دست آمده نشان داد که هیچ اختلاف معنی داری در تغییرات ضخامت کپسول بیضه در بین گروههای مطالعه وجود ندارد (جدول ۳). نکته قابل توجه در بررسی پارامترهای هیستو مترازی افزایش همه پارامترهای ساختار بافتی بیضه در گروه سرب + جوانه (200 mg/kg/day) در مقایسه با گروه سرب + ویتامین E بود. به طوریکه از نظر آماری تعداد سلول سرتولی، ضربیت RI، ارتفاع اپی‌تیلیوم زایا و قطر لوله‌های منی‌ساز افزایش معنی دار نشان داد.

تحت تأثیر جوانه در لوله‌های منی‌ساز محیطی و نزدیک کپسول بیضه بیشتر مشاهده گردید (تصویر ۱). همان‌طور که در نتایج میکرومتری مربوط به ضربیت SI در جدول ۲ مشاهده می‌گردد گروههای سرب و سرب + جوانه (100 mg/kg/day) به ترتیب با میانگین های $81.4 \pm 4.6\%$ و $81.2 \pm 3.8\%$ در مقایسه با گروه کنترل $76.2 \pm 4.2\%$ کاهش معنی دار داشتند ($p<./.۰۵$). افزایش ضربیت SI تحت تأثیر دریافت جوانه واپسی به دوز در مقایسه با گروه سرب معنی دار بود ($p<./.۰۱$) (جدول ۲). نتایج ضربیت TDI حاکی از افزایش معنی دار تعداد لوله‌های TDI مثبت در گروههای دریافت کننده جوانه واپسی به دوز و ویتامین E در مقایسه با گروه سرب بود ($p<./.۰۰۱$). ضربیت TDI در گروه جوانه (200 day) با میانگین $85.4 \pm 8.5\%$ در مقایسه با گروه کنترل ($76.2 \pm 2.7\%$) افزایش معنی دار نشان داد ($p<./.۰۰۱$) (جدول ۲). ضربیت RI در گروه جوانه (200 mg/kg/day) با میانگین $80.6 \pm 1.2\%$ به صورت معنی داری در مقایسه با سایر گروههای مورد مطالعه افزایش نشان داد ($p<./.۰۰۱$). کمترین مقدار ضربیت RI در گروههای دریافت کننده استات سرب دیده شد. ضربیت RI در گروه سرب با میانگین $55.7 \pm 5.5\%$ و گروه سرب + ویتامین E با میانگین $62.5 \pm 5.3\%$ در مقایسه با گروه کنترل ($56.1 \pm 5.5\%$) غیرمعنی دار نشان دادند. گروههای لوله‌های منی‌ساز گروه کنترل افزایش معنی دار نشان دادند ($p<./.۰۰۱$) (جدول ۲). در بررسی پارامترهای هیستو مترازی ساختار بافتی بیضه، ارتفاع اپی‌تیلیوم زایا لوله‌های منی‌ساز گروه سرب دارای کاهش معنی دار در مقایسه با گروه کنترل بود ($p<./.۰۰۱$). در مقابل، ارتفاع اپی‌تیلیوم زایا در گروه جوانه (200 mg/kg/day) با میانگین $4.4 \pm 0.9\text{ }\mu\text{m}$ در مقایسه با سایر گروههای مورد مطالعه به جز گروه سرب + جوانه (200 kg/day) افزایش معنی دار نشان داد ($p<./.۰۰۱$). ارتفاع اپی‌تیلیوم زایا در گروه سرب + جوانه (200 mg/kg/day) در مقایسه با گروههای سرب، جوانه (100 mg/kg/day), سرب + ویتامین E و سرب + جوانه (200 mg/kg/day) دارای افزایش معنی دار بود ($p<./.۰۰۱$) (جدول ۲). قطر لوله‌های منی‌ساز در گروه جوانه (200 mg/kg/day) در مقایسه با گروههای سرب + جوانه (100 mg/kg/day), سرب + ویتامین E و جوانه (100 mg/kg/day) افزایش معنی دار نشان داد ($p<./.۰۰۱$).



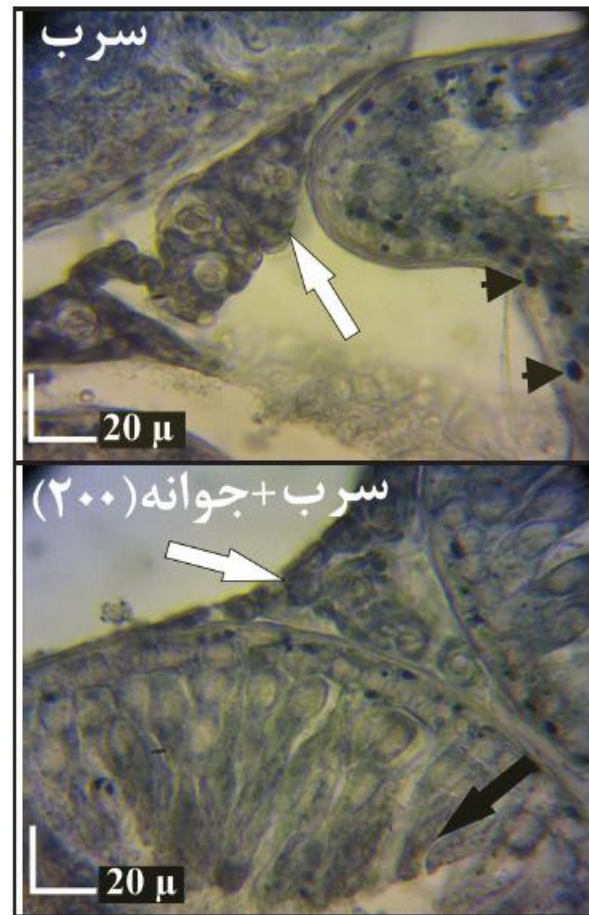
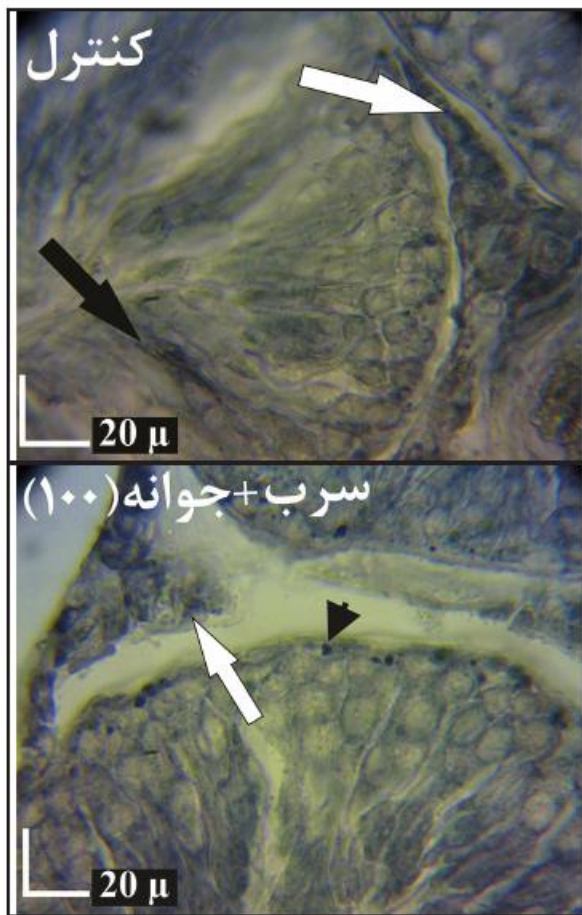


تصویر ۱. ساختار بافتی بیضه موش صحرایی (H&E). لوله‌های منی‌ساز غیرفعال و تحلیل رنله (۱)، ادم بافت همبندی (بیکان‌های سفید)، واکوئل‌های پراکنده و نایپوستگی سلولی در اپی‌تیلوم زایا (بیکان‌های سیاه) در بافت بیضه گروه‌های دریافت کننده سرب در مقایسه با دیگر گروه‌ها قابل مشاهده است. ۲: لوله‌های منی‌ساز فعال؛ اعداد داخل پرانتر بر حسب mg/kg/day می‌باشد.

سیاه رنگ (حاوی چربی) در سیتوپلاسم سلول‌های رده پایینی اپی‌تیلوم زایا (ماجور غشای پایه لوله‌های منی‌ساز) گردید. سیتوپلاسم سلول‌های لیدیگ گواه و نشانگر واکنش مثبت به رنگ آمیزی سودان بلک می‌باشد. کاهش میزان ذخیره چربی در سلول‌های لیدیگ نیز در گروه‌های دریافت کننده سرب قابل مشاهده بودند. ذرات چربی در داخل سیتوپلاسم سلول‌های مجاور غشای پایه مشاهده گردید. در مقابل، دریافت جوانه وابسته به دوز موجب افزایش واکنش به رنگ سودان بلک در سلول‌های لیدیگ و در سلول‌های مجاور حفره داخلی لوله‌های منی‌ساز گردید. نکته قابل ذکر در این رنگ آمیزی وجود دانه‌های متراکم، فراوان و سودان بلک مثبت در سیتوپلاسم سلول‌های سرتولی بالاخص در گروه‌های دریافت کننده سرب می‌باشد. این دانه‌های متراکم که سودان بلک مثبت بودند در سیتوپلاسم سلول‌های سرتولی و مجاور غشای پایه لوله‌های تحلیل رفته منی‌ساز بیشتر قابل مشاهده بودند (تصویر ۲). رنگ آمیزی ALP به صورت دانه‌های ریز قوهای تا سیاه در سیتوپلاسم سلول‌های آسیب دیده مقاطعه بافتی بیضه مشخص می‌گردد. کمترین میزان واکنش به این رنگ آمیزی در گروه‌های کنترل، جوانه (۲۰۰ mg/kg/day)، جوانه (۱۰۰ mg/kg/day) و سرب + جوانه (۲۰۰ mg/kg/day) مشاهده گردید. در مقابل، بیشترین میزان

نتایج هیستوشیمی مطالعه با رنگ آمیزی‌های PAS و سودان بلک نشان دهنده اثرات مثبت عصاره جوانه گندم وابسته به دوز بر روی ساختار بافتی بیضه موش‌های صحرایی مواجهه شده با سرب بودند. در مطالعه حاضر، سیتوپلاسم سلول‌های لیدیگ، بافت همبند اطراف لوله‌های منی‌ساز و غشای پایه به رنگ آمیزی PAS واکنش مثبت داشتند. نقاط پاس مثبت در سیتوپلاسم سلول‌های رده بالایی اپی‌تیلوم زایا (ماجور حفره داخلی لوله‌های منی‌ساز) در گروه‌های دریافت کننده سرب مشاهده گردید. دریافت استات سرب (۲۰ mg/kg/day) موجب واکنش منفی سلول‌های مجاور غشای پایه به رنگ PAS بالاخص، سلول‌های سرتولی گردید. در مقابل، استفاده از جوانه (۲۰۰ mg/kg/day) چه همراه با سرب و یا به تنهایی موجب کاهش قابل توجه نقاط PAS مثبت در ردیف فوقانی سری اسپرماتوژن در مقایسه با سایر گروه‌ها گردید. نقاط PAS مثبت در سیتوپلاسم سلول‌های رده بالایی اپی‌تیلوم زایا در گروه سرب + ویتامین E کمتر از گروه سرب قابل مشاهده بود (جدول ۴). ذرات سیاه تا قوهای رنگ حاوی چربی در سیتوپلاسم سلول‌های مجاور حفره داخلی لوله‌های منی‌ساز به میزان بسیار کم و پراکنده و به طور مشخص در سلول‌های لیدیگ بیضه دیده می‌شوند. تجویز سرب با دوز ۲۰ mg/kg/day با ایجاد نقاط





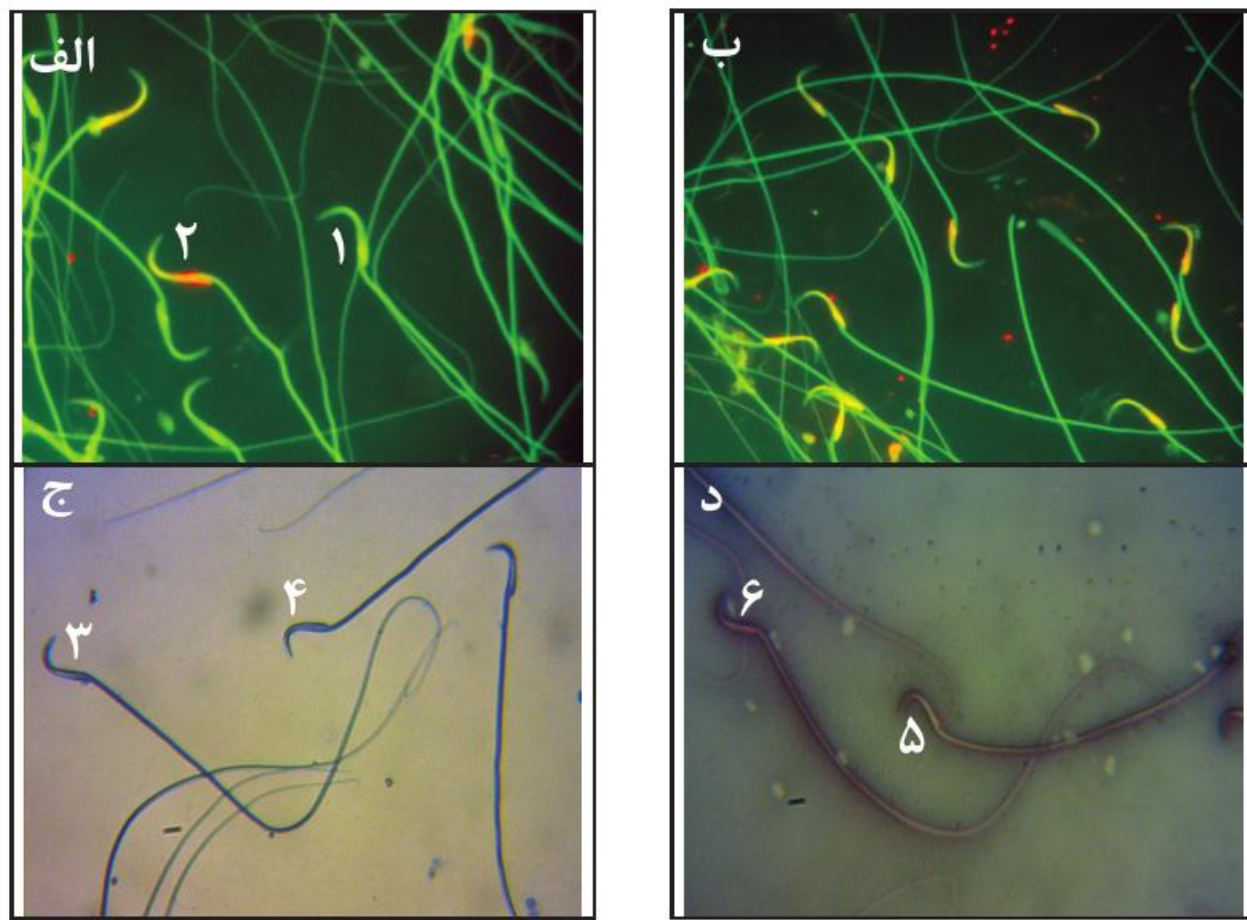
تصویر ۲. ساختار بافتی بیضه موش صحرایی (سودان بلک). مقادیر طبیعی چربی در سلول‌های لیدیگ (پیکان‌های سفید) و اسپرماتوزیک (پیکان‌های سیاه) در گروه کنترل دیده می‌شود. همچنین نقاط متراکم سودان بلک مشبت (سر پیکان‌ها) در سیتوپلاسم سلول‌های مجاور غشاء پایه (سلول‌های سرتولی) بالاخص در لوشهای تحلیل رفته در گروه سرب قابل توجه است. اعداد داخل پرانتز بر حسب mg/kg/day می‌باشد.

مطالعه به طور معنی‌داری کاهش نشان داد ($p < 0.001$). همچنین، تحرک اسپرم‌ها در گروه‌های جوانه (200 mg/kg/day) و جوانه (100 mg/kg/day) به ترتیب $14 \pm 5\%$ و $24 \pm 4\%$ مشاهده گردید که در مقایسه با گروه کنترل $34 \pm 3\%$ افزایش نشان داد. از لحاظ آماری این افزایش تنها بین گروه جوانه (200 mg/kg/day) و کنترل معنی‌دار بود ($p < 0.01$). همچنین، از لحاظ آماری بین دو گروه دریافت کننده سرب (200 mg/kg/day) و جوانه (100 mg/kg/day) اختلاف معنی‌دار نشان داد ($p < 0.05$). اسپرم‌های زنده در گروه‌های دریافت کننده جوانه وابسته به دوز در مقایسه با گروه‌های دریافت کننده سرب افزایش معنی‌دار نشان داد ($p < 0.001$). در حالی که از لحاظ آماری با گروه کنترل غیرمعنی‌دار نشان داد. اسپرم‌های زنده در گروه سرب ($14 \pm 6\%$) به نسبت گروه کنترل ($87 \pm 4\%$) کاهش معنی‌دار نشان داد ($p < 0.001$). اسپرم‌های زنده در گروه‌های سرب + جوانه (200 mg/kg/day), سرب + جوانه (100 mg/kg/day) و سرب + ویتامین E در مقایسه با دیگر گروه‌های مطالعه اختلاف معنی‌دار نشان دادند ($p < 0.01$) (جدول ۵ و تصویر ۳). اسپرم‌های نابالغ در گروه سرب با میانگین $13.2 \pm 1.1\%$ در مقایسه با گروه کنترل با میانگین $1.6 \pm 0.8\%$ دارای افزایش معنی‌دار بود ($p < 0.001$). اسپرم‌های نابالغ در گروه‌های جوانه ($mg/kg/day$)

واکنش به این رنگ‌آمیزی در گروه‌های دریافت کننده سرب مشخص گردید. نتایج این رنگ‌آمیزی مشخص کرد که در گروه‌های سرب + جوانه (100 mg/kg/day) همچنان دارای واکنش به این رنگ‌آمیزی نشان دادند. به طوری که دانه‌های ریز قهوه‌ای تا سیاه در سیتوپلاسم سلول‌های آسیب دیده قابل مشاهده بودند (جدول ۴).

از زیبایی اسپرم: تعداد اسپرم‌ها در گروه سرب در مقایسه با گروه کنترل کاهش معنی‌دار نشان داد ($p < 0.01$). تعداد اسپرم‌ها در گروه کنترل با میانگین 69.6 ± 7.9 میلیون/میلی لیتر محاسبه گردید. تعداد اسپرم در گروه سرب با میانگین 48.9 ± 9.1 میلیون/میلی لیتر نشان داد. تعداد اسپرم‌ها تحت تأثیر دریافت وابسته به دوز جوانه افزایش نشان دادند. به طوری که در گروه سرب + جوانه (200 mg/kg/day) تعداد 54.7 ± 7.3 میلیون/میلی لیتر محاسبه گردید. بیشترین تعداد اسپرم با میانگین 78.1 ± 7.5 میلیون/میلی لیتر در گروه جوانه (200 mg/kg/day) در مقایسه با گروه کنترل افزایش غیرمعنی‌دار نشان داد. تعداد اسپرم گروه جوانه (200 mg/kg/day) در مقایسه با گروه کنترل افزایش غیرمعنی‌دار نشان داد ($p < 0.001$) در مقایسه با گروه جوانه (200 mg/kg/day) در مقایسه با سایر گروه‌ها افزایش معنی‌دار نشان داد ($p < 0.001$) (جدول ۵). تحرک اسپرم‌ها در گروه سرب با میانگین 36.2 ± 4.3 در مقایسه با سایر گروه‌های





تصویر ۳ نمایی از نمونه‌های اسperm رنگ‌آمیزی شده با آکریدین-اورنج، الوزین-نیکروزین و آتیلین بلو. تصویر (الف): رنگ‌آمیزی آکریدین-اورنج. ۱: اسperm با DNA سالم (سر سبز رنگ). ۲: اسperm با آسperm دیده (سر نارنجی تا قرمز رنگ). تصویر (ب): نمونه کنترل مشتمل رنگ‌آمیزی آکریدین-اورنج. اسperm های با سر نارنجی بیانگر اسperm هایی است که آنها توسط حرارت بالا دناتوره شده است. تصویر (ج): رنگ‌آمیزی آتیلین بلو. ۳: اسperm بالغ (سر آبی کمرنگ). ۴: اسperm نابالغ (سر آبی پررنگ). تصویر (د): رنگ‌آمیزی الوزین-نیکروزین. ۵: اسperm زنده (سر سفید رنگ). ۶: اسperm مرده (سر قرمز رنگ).

غیرمعنی دار بودند. کمترین مقدار TBARS در گروه جوانه (mg/kg/day) سرب، سرب + ویتامین E و سرب + جوانه (۱۰۰ mg/kg/day) معنی دار نشان دادند ($p < 0.05$) (نمودار ۱).

سرب کبد: نتایج حاصل از بررسی سطح سرب در بافت کبد تأیید کننده وجود سرب در کبد و متعاقباً در بدن موش های صحرایی مواجهه شده با استرات سرب با دوز ۲۰ mg/kg/day بود. افزایش سرب کبد در گروه سرب در مقایسه با گروه های کنترل، جوانه (۲۰۰ mg/kg/day) و جوانه (۱۰۰ mg/kg/day) معنی دار دیده شد ($p < 0.01$). در مقابل، گروه هایی که عصاره جوانه گندم و ویتامین E را هم زمان با استرات سرب دریافت کرده بودند کاهش سرب کبد را نشان دادند. این کاهش در مقایسه با دیگر گروه های مطالعه معنی دار نبود (نمودار ۲).

تستوسترون سرم: بیشترین سطح تستوسترون سرم در گروه جوانه (۲۰۰ mg/kg/day) مشاهده گردید که این افزایش در مقایسه با گروه های سرب، سرب + جوانه (۱۰۰ mg/kg/day) و سرب + ویتامین E معنی دار نشان داد ($p < 0.01$). در مقابل، تستوسترون سرم در گروه سرب در مقایسه با گروه کنترل کاهش معنی دار نشان داد ($p < 0.001$). همچنین،

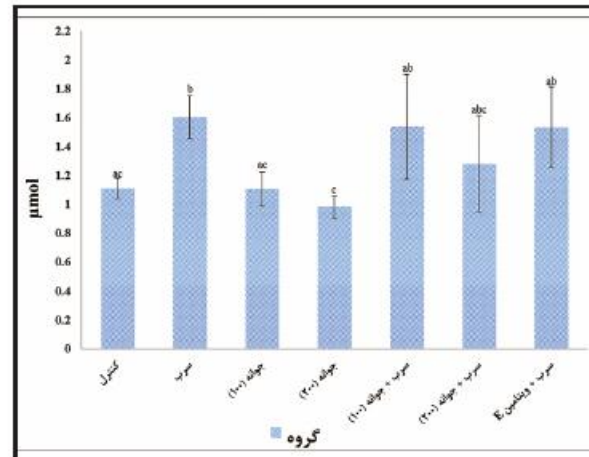
گروه سرب کاهش معنی دار نشان دادند ($p < 0.001$). همچنین، اسperm های نابالغ در گروه های جوانه (۲۰۰ mg/kg/day) و جوانه (۲۰۰ mg/kg/day) در مقایسه با گروه کنترل کاهش نشان دادند که معنی دار نبود. اسperm های نابالغ گروه سرب در مقایسه با گروه سرب + جوانه گندم (mg/kg/day) افزایش داشت که از لحاظ آماری این افزایش معنی دار بود ($p < 0.05$) (جدول ۵، تصویر ۳). در بررسی درصد اسperm های با DNA سالم در گروه های مطالعه، اختلاف معنی داری بین گروه ها مشاهده نشد (جدول ۵، تصویر ۳).

TBARS بافت بیضه: این نتایج نشان دهنده افزایش معنی دار سطح TBARS در مقایسه با گروه کنترل ($1/1 \pm 0/1 \mu\text{mol}$) بود ($20/61 \pm 0/15 \mu\text{mol}$) ($p < 0.05$). سطح TBARS در گروه های سرب + ویتامین E و سرب + جوانه ($1/52 \pm 0/28 \mu\text{mol}$) و ($1/53 \pm 0/36 \mu\text{mol}$) بهتر تیپ (100 mg/kg/day) مشاهده گردید که در مقایسه با گروه سرب کاهش غیرمعنی دار داشتند. سطح TBARS بافت بیضه در گروه های سرب + ویتامین E و سرب + جوانه (100 mg/kg/day) در مقایسه با گروه کنترل دارای افزایش

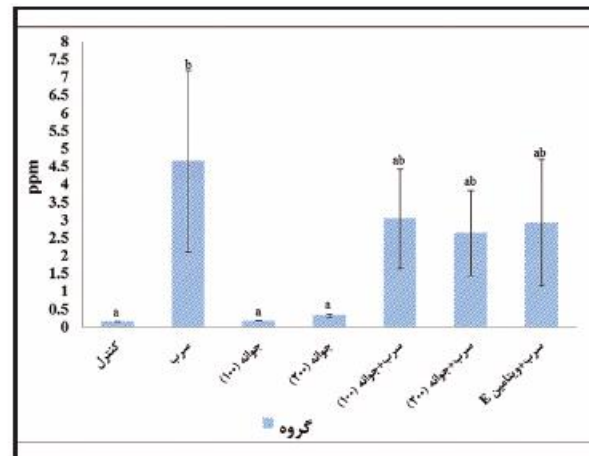


بحث

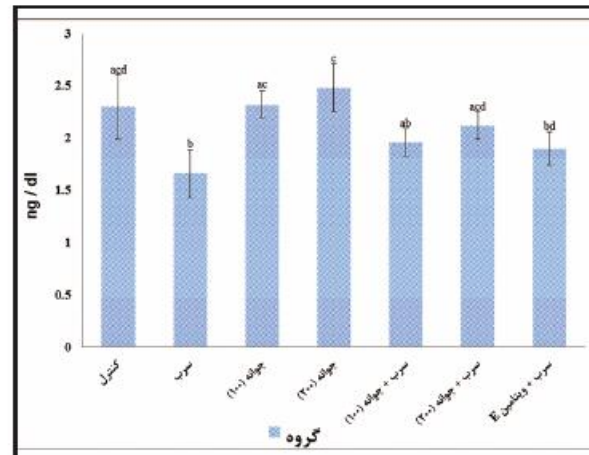
انسان‌ها در مواجهه با انواع مختلفی از آلودگی‌های زیست محیطی قرار دارند. همراه با توسعه سریع صنعت مدرن، آلودگی محیط زیست توسط فلزات سنگین به شدت افزایش یافته است. در طول چند سال گذشته، سرب در میان این فلزات به طور قابل ملاحظه‌ای سطح آن افزایش یافته است. سرب یک آلاینده زیست محیطی و صنعتی است که با مشکلات بهداشتی در سراسر دنیا همراه است. در سال‌های اخیر تأثیر منفی عوامل شیمیایی محیطی بر روی دستگاه تناسلی نر مورد توجه زیادی قرار گرفته است (۷، ۲۰). سرب از شناخته شده ترین فلزات در مسمومیت‌های زیست محیطی است. پس آشکار است که مواجهه با سرب به طور جدی موجب خطر اندامی سلامت انسان و حیوانات می‌گردد (۲۳). مواجهه شغلی با سرب در مردان خصوصاً کارگران حرفه‌ای منجر به عقیمی و ناباروری می‌گردد (۱۱)، در کشورهای در حال توسعه و صنعتی مواجهه شغلی و زیست محیطی با سرب به عنوان مشکلی جدی باقی مانده است. مطالعات بسیاری نشان داده‌اند که مسمومیت باروری از ویژگی‌های بارز سمیت سرب محسوب می‌شود. بطوریکه مسمومیت با سرب موجب تخریب اسپرماتوژن آپوپتوز ابی تیلیوم زایای بیضه می‌شود (Rubio, ۱, ۵, ۵۱). همکاران در سال ۲۰۰۶ بیان کردند که اثرات شدید سرب بر روی عملکرد سیستم تناسلی نر از طریق تغییرات در اسپرماتوژن و عملکرد اسپرم می‌باشد (۴۱). در مورد مکانیسم اثر سرب اختلاف وجود دارد. نتایج مطالعه حاضر نشان داد که مواجهه با سرب عملکرد دستگاه تناسلی نر را مختل می‌کند. به طوری که موجب تغییرات وسیع تحلیل برزنه، غیرفعال ایجاد ادم شدید در بافت همبندی و کاهش ارتفاع قطر لوله‌های منی‌ساز، ایجاد ادم شدید در بافت همبندی و کاهش ارتفاع ابی تیلیوم زایای منی‌ساز در بیضه می‌گردد. همچنین، تزریق داخل صفاقی استاتس سرب روزانه به میزان ۲۰ mg/kg در مقایسه با گروه کنترل موجب کاهش معنی‌دار تعداد، تحرک و درصد اسپرم‌های زنده و افزایش معنی‌دار اسپرم‌های نابالغ گردید. نتایج ارزیابی اسپرم تحت تأثیر سرب در مطالعه حاضر همسو با تحقیقات و مطالعات اخیر که به منظور بررسی اثرات سرب بر روی پارامترهای اسپرم انجام شده است بود (۳, ۱۳, ۱۹, ۲۰). نتایج بدست آمده در این تحقیق نشان داد که سرب اثری بر روی ساختار DNA اسپرم ندارد. به طوری که اسپرم‌های با DNA سالم در گروه سرب در مقایسه با دیگر گروه‌ها کاهش معنی‌داری نشان ندادند. و همکاران با ارزیابی سرب خون کارگران شاغل در کارخانه‌های مرتبه با سرب و نیز شمارش اسپرم‌ها و ساختار DNA اسپرم‌ها بیان کردند که سرب عملاً تأثیری بر روی ساختار DNA اسپرم‌ها ندارد. در حالی که سرب موجب کاهش شمار اسپرم‌ها شده بود (۹). شاید بتوان گفت که اثرات منفی سرب بر اسپرم‌ها بیشتر در حد ارگان‌ها و غشای سیتوپلاسمی باشد. به طوری که نشان داده شده است که وقتی موش‌های نر آلوده به سرب با موش‌های ماده بدون



نمودار ۱. Mean ± SD و تغییرات TBARS بانتی بیضه. وجود حروف متفاوت نشان دهنده تفاوت معنی‌دار است ($p < 0.05$).



نمودار ۲. Mean ± SD و تغییرات سرب کید. وجود حروف متفاوت نشان دهنده تفاوت معنی‌دار است ($p < 0.05$).



نمودار ۳. Mean ± SD و تغییرات تستوسترون سرم. وجود حروف متفاوت نشان دهنده تفاوت معنی‌دار است ($p < 0.05$).

تستوسترون سرم در گروه‌هایی که همزمان استاتس سرب را دریافت کرده بودند در مقایسه با دیگر گروه‌ها کاهش نشان داد که از لحظه آماری این کاهش غیر معنی‌دار بودند (نمودار ۳).



همکاران در سال ۲۰۱۳ بیان نمودند که تجویز سرب تأثیری بر روی وزن بدن و وزن بیضه موش‌های صحرایی مواجهه شده ندارد^(۳). در مطالعه حاضر، گروه‌های جوانه (۲۰۰ mg/kg/day) و سرب + ویتامین E بیشترین وزن بدن را در مقایسه با سایر گروه‌ها نشان دادند. همچنین، حجم، وزن نسبی و خالص بیضه تحت تأثیر عصاره جوانه گندم وابسته به دوز در بین گروه‌های آزمایش افزایش غیرمعنی دار نشان دادند. گزارش شده که تجویز ترکیبات آنتی اکسیدانی می‌تواند موجب افزایش وزن بدن، وزن و حجم اندام‌های تناسلی نر گردد^(۴،۲۲،۳۷). مطالعه حاضر اولین تحقیق در مورد استفاده از عصاره جوانه گندم در محافظت و جلوگیری از سمیت ناشی از سرب بر روی روند اسپرماتوژن، پارامترهای اسپرم و ساختار بافتی بیضه می‌باشد. نتایج این تحقیق نشان داد که تجویز عصاره جوانه گندم وابسته به دوز دارای اثرات محافظتی بر روی پارامترهای اسپرم و ساختار بافتی بیضه موش‌های صحرایی مواجهه شده با سرب می‌باشد. به طوری که عصاره جوانه گندم موجب افزایش معنی دار تعداد، تحرک و درصد اسپرم‌های زنده در مقایسه با دیگر گروه‌ها گردید. شمارش تعداد اسپرم‌های اپیدیدیم به دلیل این که نتیجه‌های از تمام مراحل میوز، اسپرمیوژن و عبور از اپیدیدیم را نشان می‌دهد به عنوان یکی از حساس‌ترین تست‌ها چهت ارزیابی اسپرماتوژن شناخته شده است^(۳). ضخامت کپسول بیضه تعییرات معنی دار بین گروه‌های مطالعه را نشان نداد. در مطالعه حاضر برای بررسی اسپرماتوژن و اسپرمیوژن، ضرایب RI، TDI و SI ارزیابی گردید. نتایج نشان داد که عصاره جوانه گندم وابسته به دوز موجب افزایش ضرایب TDI، RI و SI در مقایسه با دیگر گروه‌ها می‌گردد. جوانه (۲۰۰ mg/kg/day) توانست به طور کامل اثرات مخبر استرس اکسیداتیو ناشی از سرب را بر روی ساختار بافتی بیضه مهار نماید. جوانه گندم در میان گیاهان دارویی منحصر بفرد است. به طوری که غنی از ویتامین‌ها، مواد معدنی، ترکیبات فیتواستروژنی و آنتی اکسیدان‌ها می‌باشد. علاوه بر این جوانه گندم در برگیرنده منیزیم، روی، کلسیم، ویتامین C، ویتامین E، اسید فولیک، تیامین، ریوفلافاوین، آهن، نیاسین و B12 است^(۴،۴۵). تاکنون به طور مستقیم تأثیر عصاره جوانه گندم بر روی آسیب‌های سیستم تناسلی نر و پارامترهای اسپرم ناشی از مواجهه با سرب گزارش نشده است. در حالی که اثرات مثبت بسیاری از ترکیبات موجود در جوانه گندم که در بالا ذکر گردید بر روی آسیب‌های سیستم تناسلی نر و پارامترهای اسپرم ناشی از مواجهه با سرب نشان داده شده است. در مطالعه حاضر تجویز ویتامین E به همراه سرب در پارامترهای قطر لوله‌های منی‌ساز، TDI، تعداد سلول‌های سرتولی، تحرک و درصد اسپرم‌های زنده افزایش معنی دار نشان داد. ویتامین E آنتی اکسیدان قوی است که اثرات مفید آن بر روی سیستم تناسلی و پارامترهای باروری اسپرم در نرهای مواجهه شده با سرب گزارش شده است^(۳،۲۰). علاوه بر این، تأثیر مفید ویتامین‌های C، اسید فولیک، تیامین، نیاسین و B12 به عنوان ترکیبات آنتی اکسیدانی در تحقیقات مختلف گزارش شده است^(۴،۴۶،۴۹).

آلدگی به سرب جفت گیری کنند، تعداد جنین‌های جذب شده یا دارای ناهنجاری در مقایسه با جنین‌های حاصل از جفت گیری زوج‌های غیر آلدگی افزایشی را نشان نمی‌دهند^(۲۴). بدین ترتیب ظاهرًا سرب بر روی ساختار DNA هسته اسپرم اثرات نامطلوبی بر جای نمی‌گذارد.

کاهش قابل توجه تعداد سلول‌های سرتولی، لیدیگ، ارتفاع اپی‌تلیوم زیا و قطر لوله‌های منی‌ساز بیضه موش‌های صحرایی تحت تأثیر سرب گزارش شده است^(۳،۱۳،۱۹) که موافق با نتایج ارزیابی هیستومورفومتری در مطالعه حاضر می‌باشد. متعاقب کاهش فعالیت متابولیکی سلول‌های زیا و کاهش تعداد و تقسیم سلول‌لولی، از ارتفاع اپی‌تلیوم و قطر لوله‌های منی‌ساز بیضه کاسته می‌شود، که به نوبه خود باعث افزایش فضای بین‌ابینی و در نتیجه ادام بافتی می‌گردد^(۲۲). ایجاد اختلال و آسیب در ماهیت DNA و چاکر افزایش و تحریک آپوپتوز سلول‌های زیا و لوله‌های منی‌ساز بیضه را یکی از مکانیسم‌های اثر سرب می‌دانند^(۱۴). از طرفی گزارش شده که ممکن است مکانیسم‌آن از طریق سرکوب محور هیپوتالاموس-هیپوفیز-بیضه باشد^(۱۳). استرس اکسیداتیو یکی دیگر از مکانیسم‌های مطرح شده در مورد آسیب‌های بافتی ناشی از سرب می‌باشد^(۲۱). با ایجاد اکسیداسیون چربی‌ها، ROS موجب تغییر در یکپارچگی و سیالیت ساختار غشاء سلولی می‌گردد^(۳). چندین دهه است که ROS به عنوان عامل مخبر و آسیب رسان به سلول‌ها و بافت‌ها شناخته شده است. اسپرم نخستین سلولی بود که تولید ROS در آن اثبات شد^(۴۶). حال، با توجه به افزایش معنی دار سطح TBARS بیضه در مطالعه حاضر می‌توان گفت که استرس اکسیداتیو مکانیسم اصلی تأثیر سرب در بافت بیضه می‌باشد. گزارش شده است که یکی از دلایل اصلی ناباروری در افراد، تولید بیش از حد ROS و یا کاهش توانایی آنتی اکسیدانی در مایع منی است که باعث ایجاد شرایط استرس اکسیداتیو و در نهایت افزایش مرگ و میر و کاهش تعداد و تحرک اسپرم‌ها می‌گردد^(۴۷). در مطالعه حاضر، ضرایب اسپرماتوژن و اسپرمیوژن شامل TDI، RI و SI در لوله‌های منی‌ساز بیضه تحت تأثیر استرس اکسیداتیو ناشی از سرب کاهش معنی داری در مقایسه با گروه کنترل نشان دادند. گزارش شده است که ایجاد شرایط استرس اکسیداتیو موجب کاهش شدید ضرایب RI و TDI و SI در لوله‌های منی‌ساز بیضه موش‌های سوری می‌گردد لذا همسو با نتایج مطالعه حاضر می‌باشدند^(۲۲،۴۲).

در مطالعه حاضر تجویز سرب موجب کاهش در وزن بدن، حجم، وزن خالص و نسبی بیضه در مقایسه با گروه کنترل گردید اما این کاهش از لحاظ آماری غیرمعنی دار بود. گزارش شده است که وزن اندام‌های تناسلی یکی از معیارهای مهم برای مطالعات سم شناسی می‌باشد. به طوری که وزن اندام‌های تناسلی بالاخص بیضه‌ها در شرایط استرس اکسیداتیو کاهش می‌یابند. در تحقیقات مشابه گزارش شده است که استرس اکسیداتیو ناشی از سرب موجب کاهش وزن بدن، وزن خالص، وزن نسبی و حجم بیضه موش‌های صحرایی می‌گردد^(۱۳،۱۹،۲۰،۲۲). در حالی که Asadpour و



سطح تستوسترون سرم در مقایسه با گروه کنترل می‌گردد. همچنین، کاهش تعداد سلول‌های لیدیگ و کاهش میزان رنگ پذیری سیتوپلاسم سلول‌های لیدیگ در رنگ آمیزی سودان بلک حاکی از افت فعالیت این سلول‌ها تحت شرایط استرس اکسیداتیو بود. Dorostghol و همکاران در سال ۲۰۱۴ بیان نمودند که استرس اکسیداتیو موجب کاهش تستوسترون در موش‌های مواجهه شده با سرب می‌گردد که هم‌سو با نتایج مطالعه حاضر می‌باشد (۱۳). افزایش تستوسترون سرم تحت تأثیر گیاهان داروئی C، E و ترکیبات آنتی اکسیدانی و معدنی از قبیل روی و ویتامین‌های C، E، F در مطالعات مختلف گزارش شده است (۴، ۱۳، ۳۵، ۳۷) در مطالعه حاضر، گروه‌های دریافت کننده ویتامین E و عصاره جوانه گندم وابسته به دوز موجب بالا رفتن سطح تستوسترون سرم شدند. علاوه بر این، نتایج این مطالعه نشان داد که گروه‌های دریافت کننده عصاره جوانه گندم و ویتامین E موجب افزایش تعداد و فعالیت سلول‌های لیدیگ بیضه می‌شوند. با توجه به نتایج ارزیابی سلول‌های لیدیگ و سرتولی در مطالعه حاضر، بررسی فراساختاری این سلول‌ها توسط میکروسکوپ الکترونی می‌تواند در جهت درک بهتر مکانیسم عمل عصاره جوانه گندم، ویتامین E و استرات سرب بکار گرفته شود.

نتیجه گیری: در مجموع می‌توان گفت که تجویز سرب با دوز ۱/۸ mg/kg/day موجب ایجاد استرس اکسیداتیو در ساختار بافتی بیضه موش‌های صحرایی می‌گردد. در مقابل، تجویز عصاره جوانه گندم وابسته به دوز توانست اثرات مخرب سرب بر روی بافت بیضه را مهار نماید. همچنین، با توجه به نتایج مطالعه حاضر قبل ذکر است که مصرف خوراکی جوانه گندم اثرات بهتری در مقایسه با ویتامین E با دوز ۱۰۰ mg/kg/day در مهار استرس اکسیداتیو بر روی ساختار بافتی بیضه موش‌های صحرایی مواجهه شده یا سرب دارد.

تشکر و قدردانی

نویسنده‌گان مقاله بر خود لازم می‌دانند از جناب آقای دکتر حسین نجف زاده به خاطر همکاری‌هایشان در اجرای این طرح تقدیر و تشکر نمایند.

References

1. Adhikari, N., Sinha, N., Narayan, R., Saxena, D. (2001) Lead induced cell death in testes of young rats. *J Appl Toxicol.* 21: 275-277.
2. Arrieta, M.A., Bruzzone, L., Apartin, C., Rosenberg, C.E., Fink, N.E., Salibian, A. (2004) Biosensors of inorganic lead exposure and effect in an adult amphibian. *Arch Environ Contam Toxicol.* 46: 224-230.
3. Asadpour, R., Shahbazfar, A., Kianifard, D.,

از طرفی، نتایج بدست آمده از ارزیابی TBARS بیضه نشان داد که عصاره جوانه گندم وابسته به دوز موجب کاهش سطح TBARS بیضه می‌گردد. لذا می‌توان گفت عصاره جوانه گندم از طریق فعالیت آنتی اکسیدانی نقش محافظتی خود را ایفا کرده است.

آنژیم آکالین فسفاتاز نقش مهمی در فرآیندهای سلولی دارد. آسیب غشاء سلول باعث آزاد شدن این آنزیم در داخل سلول و نهایتاً در سرم می‌گردد. بنابراین، اندازه‌گیری آنزیم آکالین فسفاتاز به عنوان یک شاخص برای تغییرات بافت بیضه استفاده می‌گردد (۲۲). در مطالعه حاضر، عصاره جوانه گندم وابسته به دوز هم‌zman با سرب در مقایسه با گروه سرب موجب کاهش میزان آنزیم آکالین فسفاتاز در برش‌های بافتی بیضه گردید. در شرایط سالم، سلول‌های سری اسپرماتوژن بر روی غشای پایه لوله‌های منی‌ساز دارای منابع کربوهیدرات‌های هستند. در حالی که سلول‌های نزدیک حفره داخلی لوله‌های منی‌ساز برای متابولیسم از لبید استفاده می‌کنند. در مواردی که چرخه متابولیکی دچار اختلال گردد متعاقباً متابولیسم سلولی نیز تغییر می‌کند. در این شرایط، سلول از دیگر منابع غذایی موجود در محیط برای سوخت و ساز استفاده می‌کند (۲۲). نتایج حاصل از این مطالعه نشان داد که در بافت بیضه موش‌های صحرایی مواجهه با سرب افزایش نقاط PAS مثبت (ذرات کربوهیدرات) در سلول‌های مجاور حفره داخلی لوله‌های منی‌ساز، کاهش شدید ذخیره چربی در سلول‌های لیدیگ و سلول‌های سری اسپرماتوژن نزدیک غشای پایه را نشان داد. این نتایج حاکی از اختلال در سوخت و ساز سلول‌های بافت بیضه تحت تأثیر مواجهه با سرب بود. در بین گروه‌های آزمایش، عصاره جوانه گندم با دوز ۱/۸ mg/kg/day توانست نقش محافظتی کاملی را در برابر اثرات سمی سرب ایفا کند. لذا دریافت عصاره جوانه گندم با دوز ۱/۸ mg/kg/day ۲۰۰ موجب گردید سلول‌های بافت بیضه با وجود تجویز هم‌zman سرب دارای سوخت و ساز طبیعی باشند. رنگ آمیزی سودان بلک در مطالعه حاضر دانه‌های فراوان، متراکم و کاملاً سیاه رنگ در سیتوپلاسم سلول‌های سرتولی بالاخص در گروه‌های دریافت کننده سرب مشاهده گردید. دانه‌های متراکم قهوه‌ای-سیاه رنگ در رنگ آمیزی سودان بلک در سیتوپلاسم سلول‌های سرتولی در مجاور غشای پایه لوله‌های تحلیل رفته منی‌ساز بیشتر قابل مشاهده بودند. از وظایف مهم سلول‌های سرتولی، فاگوسیتوز سلول‌های اسپرماتوژنیک تحلیل رفته و جدا کردن اجسام باقی مانده اسپرماتیدها می‌باشد. در نتیجه این مواد با آنزیم‌های لیزوزومی ترکیب و لیفوپوشین نامیده می‌شود که به صورت پیغمانت‌های زرد-قهوه‌ای قابل تشخیص اند (۱۶). حال می‌توان گفت که این دانه‌های قهوه‌ای متراکم در اثر فعالیت فاگوسیتوز بیش از حد سلول‌های تحلیل رفته اسپرماتوژن تحت تأثیر استرس اکسیداتیو ناشی از سرب در سیتوپلاسم سلول‌های سرتولی وجود دارند.

نتایج اندازه‌گیری سطح تستوسترون سرم در مطالعه حاضر نشان داد که تجویز سرب و ایجاد شرایط استرس اکسیداتیو موجب کاهش معنی‌دار



- Azari, M., Zaboli, N. (2013) Comparison of the protective effects of garlic (*Allium sativum L.*) extract, vitamin E and N acetyl cysteine on testis structure and sperm quality in rats treated with lead acetate. *Revue Med Vet.* 164: 27-33.
4. Ayinde, O.C., Ogunnowo, S., Ogedegbe, R.A. (2012) Influence of Vitamin C and Vitamin E on testicular zinc content and testicular toxicity in lead exposed albino rats. *BMC Pharmacol Toxicol.* 13: 13-17.
 5. Batra, N., Nehru, B., Bansal, M. (2001) Influence of lead and zinc on rat male reproduction at 'biochemical and histopathological levels. *J Appl Toxicol.* 21: 507-512.
 6. Benoff, S., Jacob, A., Hurley, I.R. (2000) Male infertility and environmental exposure to lead and cadmium. *Hum Reprod Update.* 6: 107-121.
 7. Bilandzic, N., Sedak, M., Vrataric, D., Peric, T., Simic, B. (2009) Lead and cadmium in red deer and wild boar from different hunting grounds in Croatia. *Sci Total Environ.* 407: 4243-4247.
 8. Bolin, C.M., Basha, R., Cox, D., Zawia, N.H., Maloney, B., Lahiri, D.K., Cardozo-Pelaez, F. (2006) Exposure to lead and the developmental origin of oxidative DNA damage in the aging brain. *FASEB J.* 20: 788-790.
 9. Bonde, J.P., Joffe, M., Apostoli, P., Dale, A., Kiss, P., Spano, M., Caruso, F., Giwercman, A., Bisanti, L., Porru, S., Vanhoorne, M., Comhaire, F., Zschiesche, W. (2002) Sperm count and chromatin structure in men exposed to inorganic lead: lowest adverse effect levels. *Occup Environ Med.* 59: 234-242.
 10. Bonfili, L., Amici, M., Cecarini, V., Cuccioloni, M., Tacconi, R., Angeletti, M., Fioretti, E., Keller, J.N., Eleuteri, A.M. (2009) Wheat sprout extract-induced apoptosis in human cancer cells by proteasomes modulation. *Biochimie.* 91: 1131-44.
 11. Cullen, M.R., Kayne, R.D., Robins, J.M. (1984) Endocrine and reproductive dysfunction in men associated with occupational inorganic lead intoxication. *Arch Environ Health.* 39: 431-440.
 12. Dexter, J., Wood, P. (1996) Recent applications of debranning of wheat before milling. *Tren Food Sci Tech.* 7: 35-41.
 13. Dorostghoal, M., Seyyednejad, S., Jabari, A. (2014) Protective effects of *Fumaria parviflora L.* on lead induced testicular toxicity in male rats. *Andrologia.* 46: 437-446.
 14. Eisenmenger, M., Dunford, N.T. (2008) Bioactive components of commercial and supercritical carbon dioxide processed wheat germ oil. *JAOCS.* 85: 55-61.
 15. El-Neweshy, M.S., El-Sayed, Y.S. (2011) Influence of vitamin C supplementation on lead-induced histopathological alterations in male rats. *Exp Toxicol Pathol.* 63: 221-227.
 16. Eurell, J.A., Frappier, B.L. (2006) Dellmann's *Textbook of Veterinary Histology* (6th ed.) Blackwell. New York, USA.
 17. Falcioni, G., Fedeli, D., Tiano, L., Calzuola, I., Mancinelli, L., Marsili, V., Gianfranceschi, G. (2002) Antioxidant activity of wheat sprouts extract in vitro: inhibition of DNA oxidative damage. *JFS.* 67: 2918-2922.
 18. Ghanem, K.Z., Ramadan, M.M., Farrag, A.R.H., Ghanem, H.Z., Farouk, A. (2009) Egyptian artichoke volatile compounds protect against lead-induced hepatic and renal toxicity in male rats. *Pol J Food Nutr Sci.* 59: 175-181.
 19. Graca, A., Ramalho-Santos, J., de Lourdes Pereira, M. (2004) Effect of lead chloride on spermatogenesis and sperm parameters in mice. *Asian J Androl.* 6: 237-242.
 20. Hamadouche, N.A., Sadi, N., Kharoubi, O., Slimani, M., Aoues, A. (2013) The protective effect of vitamin E against genotoxicity of lead acetate intraperitoneal administration in male rat. *Arch Biol Sci Belgrade.* 65: 1435-1445.
 21. Hermes-Lima, M., Pereira, B., Bechara, E. (1991) Are free radicals involved in lead poisoning? *Xenobiotica.* 21: 1085-1090.
 22. Hesari, A.K., Shahrooz, R., Ahmadi, A., Malekinejad, H., Saboory, E. (2015) Crocin prevention of anemia-induced changes in structural and functional parameters of mice testes. *JAB.* 53: 1-11.
 23. Hu, H. (2000) Exposure to metals. *Prim Care.* 27: 983-996.



24. Johansson, L., Wide, M. (1986) Long-term exposure of the male mouse to lead: effects on fertility. Enviro res. 41: 481-487.
25. Kakkar, P., Jaffery, F.N. (2005) Biological markers for metal toxicity. Env Toxicol Pharmacol. 19: 335-349.
26. Khan, M., Mostafa, M., Jahan, M., Sayed, M., Hossain, M. (2008) Effect of garlic and vitamin B-complex in lead acetate induced toxicities in mice. Banglad J Vet Med. 6: 203-210.
27. Kulkarni, S.D., Tilak, J., Acharya, R., Rajurkar, N.S., Devasagayam, T., Reddy, A. (2006) Evaluation of the antioxidant activity of wheatgrass (*Triticum aestivum L.*) as a function of growth under different conditions. Phytother Res. 20: 218-227.
28. Kumar, P., Yadava, R., Gollen, B., Kumar, S., Verma, R., Yadav, S. (2011) Nutritional contents and medicinal properties of wheat: A review. Life Sci Med Res. 22: 1-10.
29. Lee, S., Lee, Y., Lee, H., Kim, D. (2009) Antioxidative and anti-hyperglycemia effects of *Triticum aestivum* wheat sprout water extracts on the streptozotocin-induced diabetic mice. Korean J Pharmac. 40: 1-9.
30. Lukaszewicz-Hussain, A., Moniuszko-Jakoniuk, J., Rogalska, J. (2007) Assessment of lipid peroxidation in rat tissues in subacute chlorfenvinphos administration. Polish J Environ Stud. 16: 233-236.
31. Marchlewicz, M., Michalska, T., Wiszniewska, B. (2004) Detection of lead-induced oxidative stress in the rat epididymis by chemiluminescence. Chemosphere. 57: 1553-1562.
32. Markowitz, M. (2000) Lead poisoning: a disease for the next millennium. Curr Probl Pediatr. 30: 62-70.
33. Meistrich, M. (1989) Evaluation of reproductive toxicity by testicular sperm head counts. Internat J Toxicol. 8: 551-567.
34. Mishra, M., Acharya, U.R. (2004) Protective action of vitamins on the spermatogenesis in lead-treated Swiss mice. J Trace Elem Med Biol. 18: 173-178.
35. Mohamed, D.S., Omar, A., Soliman, A. (2014) Effect of Cadmium on the Testes of Adult Albino Rats and the Ameliorating Effect of Zinc and Vitamin E. British J Sci. 11: 72-94.
36. Mohan, Y., Jesuthankaraj, G.N., Ramasamy, T.N. (2013) Antidiabetic and antioxidant properties of *Triticum aestivum* in streptozotocin-induced diabetic rats. Advan Pharmacol Sci. 1: 1-9.
37. Moradi, H.R., Majd, N.E., Esmaeilzadeh, S., Tabatabaei, S.R.F. (2015) The histological and histometrical effects of *Urtica dioica* extract on rat's prostate hyperplasia. Vet Res Forum. 6: 23-29.
38. Peryt, B., Szymczyk, T., Lesca, P. (1992) Mechanism of antimutagenicity of wheat sprout extracts. Mutat Res. 269: 201-215.
39. Rezvanfar, M., Sadrkhanlou, R., Ahmadi, A., Shojaei-Sadee, H., Rezvanfar, M., Mohammadirad, A., Salehnia, A., Abdollahi, M. (2008) Protection of cyclophosphamide-induced toxicity in reproductive tract histology, sperm characteristics, and DNA damage by an herbal source; evidence for role of free-radical toxic stress. Hum Exp Toxicol. 27: 901-910.
40. Rezvanfar, M.A., Rezvanfar, M.A., Shahverdi, A.R., Ahmadi, A., Baeeri, M., Mohammadirad, A., Abdollahi, M. (2013) Protection of cisplatin-induced spermatotoxicity, DNA damage and chromatin abnormality by selenium nano-particles. Toxicol Appl Pharmacol. 266: 356-365.
41. Rubio, J., Riqueros, M.I., Gasco, M., Yucra, S., Miranda, S., Gonzales, G.F. (2006) *Lepidium meyenii* (Maca) reversed the lead acetate induced—damage on reproductive function in male rats. Food Chem Toxicol. 44: 1114-1122.
42. Sajjadian, F., Roshangar, L., Hemmati, A., Nori, M., Soleimani-Rad, S., Soleimani-Rad, J. (2014) The effect of BSO-induced oxidative stress on histologic feature of testis: testosterone secretion and semen parameters in mice. Iran J Basic Med Sci. 17: 606-612.
43. Shalan, M., Mostafa, M., Hassouna, M., El-Nabi, SH., El-Refaie, A. (2005) Amelioration of lead toxicity on rat liver with vitamin C and silymarin supplements. Toxicol. 206: 1-15.
44. Shan, G., Tang, T., Zhang, X. (2009) The protective effect of ascorbic acid and thiamine supple-



- mentation against damage caused by lead in the testes of mice. *J Huazhong Univ Sci Technolog Med Sci.* 29: 68-72.
45. Singh, N., Verma, P., Pandey, B. (2012) Therapeutic potential of organic Triticum aestivum linn.(wheat grass) in prevention and treatment of chronic diseases: An overview. *Int J Pharm Sci Drug Res.* 4: 10-14.
46. Tremellen, K. (2008) Oxidative stress and male infertility—a clinical perspective. *Hum Reprod Update.* 14: 243-258.
47. Tvrda, E., Knazicka, Z., Bardos, L., Massanyi, P., Lukac, N. (2011) Impact of oxidative stress on male fertility—a review. *Acta Vet Hung.* 59: 465-484.
48. Upasani, C., Khera, A., Balararnan, R. (2001) Effect of lead with vitam1in E, C, or Spirulina on malondialdehyde, conjugated dienes and hydroperoxides in rats. *Indian J Exp Biol.* 39: 70-74.
49. Wang, C., Liang, J., Zhang, C., Bi, Y., Shi, X., Shi, Q. (2007) Effect of ascorbic acid and thiamine supplementation at different concentrations on lead toxicity in liver. *Ann Occup Hyg.* 51: 563-569.
50. Watson, W.A., Litovitz, T.L., Rodgers, G.C.Jr., Klein-Schwartz, W., Youniss, J., Reid, N., Rouse,W.G., Rembert, R.S., Borys, D. (2004) 2003 annual report of the American association of poison control centers toxic exposure surveillance system. *Am J Emerg Med.* 22: 335-404.
51. Yucebilgic, G., Bilgin, R., Tamer, L., Tukel, S. (2003) Effects of lead on Na⁺-K⁺ ATPase and Ca²⁺ ATPase activities and lipid peroxidation in blood of workers. *Internation J Toxicol.* 22: 95-97.
52. Zhu, K.X., Zhou, H.M., Qian, H.F. (2006) Comparative study of chemical composition and physicochemical properties of defatted wheat germ flour and its protein isolate. *J food biochem.* 30: 329-341.



Wheat sprout effects on histological and histometrical structure and sperm parameters in testis of rat exposed to lead

Morovvati, H.*¹, Moradi, H.R., Adibmoradi, M., Sheybani, M.T., Salar Amoli, J.

Department of Basic Science, Faculty of Veterinary Medicine, University of Tehran, Tehran, Iran

(Received 27 September 2016, Accepted 31 December 2016)

Abstract:

BACKGROUND: Wheat sprout contains a high amount of antioxidants, vitamins (especially vitamin E), minerals and phytoestrogen compounds. Use of medicinal herbs in reducing heavy metal toxicities has increased worldwide. In recent years, negative effects of lead on the male reproductive system and sperm fertility parameters have been shown broadly. **OBJECTIVES:** This study investigated the effects of wheat sprout extract (WSE) and vitamin E on sperm parameters and testicular oxidative stress in rats exposed to lead acetate. **METHODS:** Thirty-five rats were divided randomly into seven groups: G1 (control group) received 1 ml/kg/day of normal saline, G2 received 20 mg/kg/day of lead acetate, G3 and G4 received 100 mg/kg/day and 200 mg/kg/day of WSE respectively, G5 and G6 received 100 mg/kg/day and 200 mg/kg/day of WSE respectively with 20 mg/kg/day of lead acetate, and G7 received 100 mg/kg/day of vitamin E with 20 mg/kg/day of lead acetate. After 35 days, rats were sacrificed and blood, sperm, liver and testicle tissue samples were collected for histomorphological and histochemical studies. **RESULTS:** Results showed that count, motility and viability of sperms increased following the administration of 200 mg/kg/day of WSE ($p<0.01$). Histomorphological studies showed a significant increase in tubular differentiation index (TDI), Repopulation index (RI), number of Sertoli cells, and epithelium of seminiferous tubules in groups receiving 200 mg/kg/day of WSE ($p<0.001$). **CONCLUSIONS:** Results of the current study show that dose dependent WSE significantly prevents testicular toxicity and oxidative stress effects of lead acetate.

Keyword: wheat sprout, lead, testis, oxidative stress, rat

Figure Legends and Table Captions

Table 1. Rat body weight, net weight, testis/body weight and testis volume. Values in parentheses are shown in mg/kg/day.

Table 2. SI, TDI, RI, and epithelium height of seminiferous tubules and number of Sertoli cells (mean \pm SD). Values in parentheses are shown in mg/kg/day.

Table 3. Characteristic changes in rat testis (mean \pm SD). Values in parentheses are shown in mg/kg/day.

Table 4. Alitative evaluation of PAS and ALP staining of testicular tissue among the study groups. Values in parentheses are shown in mg/kg/day.

Table 5. Characteristic changes in rat sperms (mean \pm SD). Values in parentheses are shown in mg/kg/day.

Figure 1. Histological structure of rat testis using H&E staining. Values in parentheses are shown in mg/kg/day.

Figure 2. Histological structure of rat testis using Sudan black staining. Values in parentheses are shown in mg/kg/day.

Figure 3. Acridine orange staining, Aniline blue staining and Eosin-nigrosin staining of sperms.

Grapg 1. Mean \pm SD and changes in testicle TBARS level of the study groups. Values in parentheses are shown in mg/kg/day.

Grapg 2. Mean \pm SD and changes in liver lead level of the study groups. Values in parentheses are shown in mg/kg/day.

Grapg 3. Mean \pm SD and changes in serum testosterone level of the study groups. Values in parentheses are shown in mg/kg/day.



*Corresponding author's email: hmorovvati@ut.ac.ir, Tel: 021-61117117, Fax: 021-66933222